

# ارزیابی رفتار غیراشباع خاک لس گرگان در مکش‌های متوسط تحت شرایط تراکم سه‌محوری ناهمسان

سید محسن حائزی<sup>\*</sup> (استاد)

بهنام سعداللهزاده (دانشجوی دکتری)

سامان سلیمانی بروجردی (دکتری)

دانشکده هندسی عمران، دانشگاه صنعتی شریف، تهران، ایران

مهمنگی: عمان شریف، (ایران ۱۴۰۳)، دوری ۳، شماره ۲، صص. ۱۱۱-۱۱۱ (پژوهشی)

هدف پژوهش حاضر، بررسی تأثیر تنش برشی اولیه در رفتار هیدرومکانیکی خاک لس گرگان در مکش‌های متوسط تحت شرایط تراکم همسان و ناهمسان با استفاده از دستگاه سه‌محوری غیراشباع تمام اتوماتیک ارتفاعی افته در آزمایشگاه مکانیک خاک پیشرفتی دانشگاه صنعتی شریف است. در پژوهش حاضر، مجموعه‌یی از آزمایش‌های سه‌محوری بر روی نمونه‌های بازسازی شده از خاک لس گرگان تحت مسیر «تشن خالص میانگین» ثابت - مکش ساختاری کاھشی<sup>۱</sup> و در مکش‌های ساختاری متوسط شامل ۳۰۰ و ۴۰۰ کیلوپاسکال و تحت نسبت‌های تنش برشی صفر، ۱ و ۲ به صورت کنتل تنش انجام شده است. در انتهای هر آزمایش، جهت بررسی رفتار برشی، آزمایش برش سه‌محوری به صورت کنتل کرنش انجام شده است. نتایج به دست آمده از آزمایش‌های ترشگی نشان می‌دهند که با افزایش تنش برشی اولیه تحت تنش خالص میانگین ثابت، میزان کاھش حجم نمونه افزایش یافته است. نتایج آزمایش‌های مقاومت برشی نیز نشان می‌دهند که برای نمونه‌هایی که در مرحله‌ی ترشگی تحت مکش ساختاری و تنش خالص میانگین یکسان بوده‌اند، با افزایش تنش برشی اولیه، مقدار مقاومت برشی کاھش یافته است.

smhaeri@sharif.edu  
behnam.sadollahzadeh@sharif.edu  
saman.soleymani1369@sharif.edu

واژگان کلیدی: خاک لس، رفتار هیدرومکانیکی، تنش برشی اولیه، نمونه‌یی بازسازی شده، دستگاه سه‌محوری غیراشباع.

## ۱. مقدمه و تاریخچه پژوهش

خاک‌های فروریزشی در گروه خاک‌های با ساختار باز و کمثبات و با چگالی نسبتاً کم شناخته می‌شوند. در بین خاک‌های فروریزشی، نهیشه‌های لسی جزو شناخته شده ترین نوع هستند. ترزاچی<sup>۱</sup> و همکاران (۱۹۹۶)، لس را به عنوان نهیشه‌های بادرفتی تعریف کردند، که ساختار آن عمده‌تاً از ذرات لای به همراه مقداری رس و یا ماسه تشکیل شده است. ذرات لای و یا ماسه توسط باندهای رسی و یا کلستیتی در کنار یکدیگر قرار می‌گیرند و ساختاری باز را تشکیل می‌دهند، که در حالت خشک پایدار هستند.<sup>[۱]</sup> ازویزگی‌های مهندسی خاک لس می‌توان به وجود حفره‌های بزرگ در ساختار، درصد رطوبت طبیعی پائین، چگالی نسبتاً کم و چسبندگی ناقیز اشاره کرد. خاک‌های لس در شرایط طبیعی و در حالت غیراشباع، به واسطه‌ی داشتن پیوندهای قوی بین دانه‌یی، مقاومت برشی نسبتاً بالایی دارند؛ اما طی ترشدن، نسبت تر فروریزش خاک شود.

از اواخر دهه‌ی ۱۹۶۰ میلادی تاکنون، پژوهشگران بسیاری به رفتار خاک‌های فروریزشی به خصوص لس توجه داشته‌اند. با توسعه‌ی مکانیک خاک‌های غیراشباع، بیشتر مطالعات اخیر مربوط به بررسی آزمایشگاهی رفتار خاک‌های فروریزشی

\* نویسنده مسئول

تاریخ دریافت: ۲۶/۰۴/۱۴۰۲، اصلاحیه ۲۷/۰۶/۱۴۰۲، پذیرش ۳/۸/۱۴۰۲.

استناد به این مقاله:

حائزی، سید محسن، سعداللهزاده، بهنام و سلیمانی بروجردی، سامان. ۱۴۰۳. ارزیابی رفتار غیراشباع خاک لس گرگان در مکش‌های متوسط تحت شرایط تراکم سه‌محوری ناهمسان. مهندسی عمران شریف، ۴۰(۲)، صص. ۱۱۱-۱۱۱. DOI:10.24200/J30.2023.62479.3228.

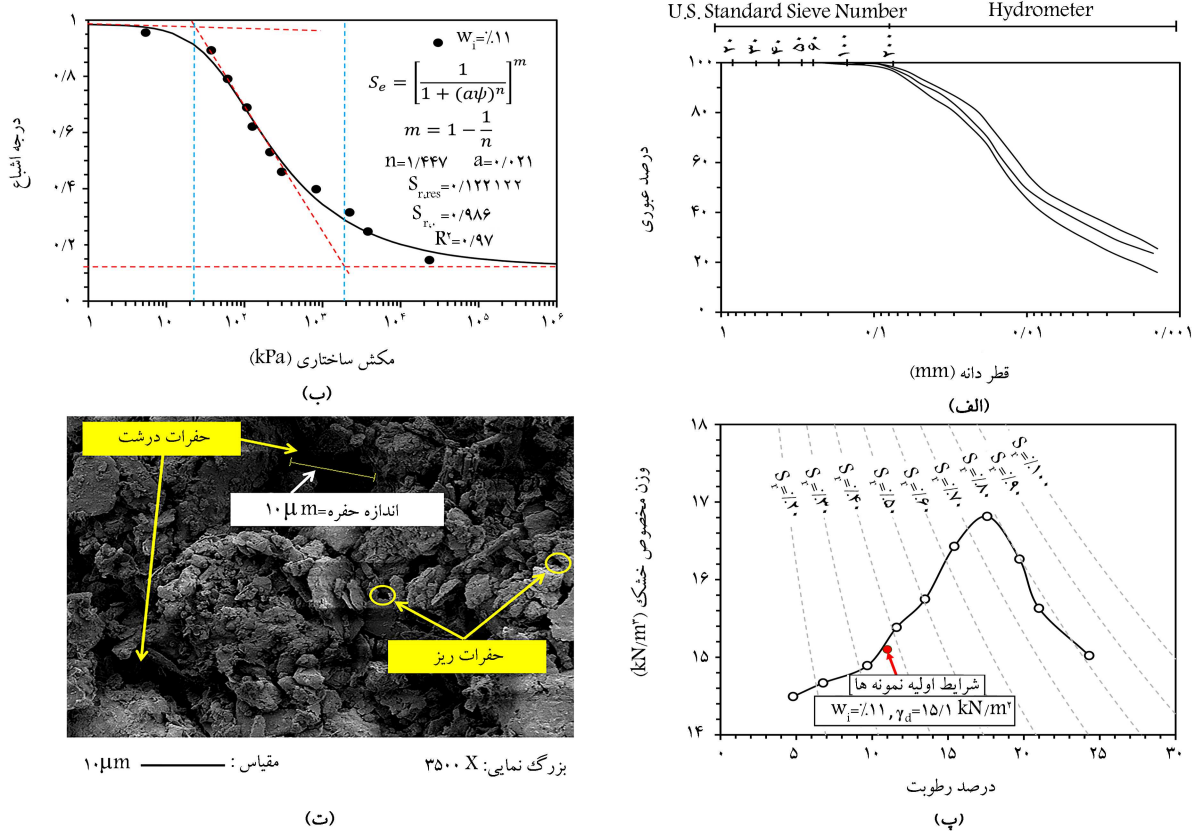
و ۴۰۰ کیلوپاسکال و در مسیر بارگذاری «تنش خالص میانگین ثابت - مکشن ساختاری کاہشی» و با نسبت های تنش برشی صفر، ۱ و ۲ به صورت کنترل تنش انجام شده است. همچنین به منظور بررسی رفتار مقاومت برشی، در انتهای هر کدام از آزمایش ها، نمونه ها در شرایط مکشن ساختاری ثابت تحت تنش برش سه محوری و به صورت کنترل کرنش قرار گرفته اند.

## ۲. مشخصات فیزیکی خاک مطالعه شده و روش آماده سازی نمونه ها

خاک مطالعه شده در پژوهش حاضر، لس گرگان بوده است، که از تپه های هزار پیج واقع در شهر گرگان تهیه شده است. لس گرگان در ناحیه ای شمال شرق ایران و بخشی از کمر بند لس اوراسیایی است، که از شمال غرب اروپا کشیده شده است و تا آسیای مرکزی و چین ادامه دارد. لس های مذکور منشأ بادرفتی<sup>۱۱</sup> دارند و سطح وسیعی را به شکل تپه هایی از جنس لای در منطقه مذکور تشکیل داده اند.<sup>[۲۵]</sup> مطابق مطالعات پیشین انجام شده، خاک لس در گروه خاک های با قابلیت فروریزش شدید قرار دارد.<sup>[۲۶]</sup> در شکل (۱ - الف)، پوش منحنی دانه بندی خاک لس مطالعه شده مطابق استاندارد ASTM D ۴۲۲-۶۳ است. بدین ترتیب خاک لس گرگان براساس سیستم طبقه بندی متعدد<sup>۲۷</sup> (ASTM D) از نوع «ML» و به عبارتی «خاک لای با خاصیت خمیری کم» است. طبق استاندارد ASTM D ۸۵۴-۹۲، چگالی و وزیه دانه های جامد (Gs) خاک لس گرگان برابر با ۲/۷۲ به دست آمده است.<sup>[۲۸]</sup> به منظور تعیین منحنی نگهداری آب - خاک، آزمایش کاغذ صافی تماسی روی نمونه های بازسازی شده نگهداری آب - خاک مطالعه شده است. بدین ترتیب خاک لس گرگان براساس سیستم طبقه بندی متعدد<sup>۲۹</sup> (ASTM D ۴۳۱۸-۸۷) مذکور به ترتیب ۲/۱، ۲/۱ و ۲/۱ درصد به دست آمده است. بدین ترتیب خاک لس گرگان براساس سیستم طبقه بندی متعدد<sup>۳۰</sup> (ASTM D ۴۲۲-۶۳) از مقدار حدود ۲۱ تا ۲۹ درصد آن را ذرات رس (با درنظر گرفتن درصد ذرات با ابعاد کوچک تر از ۲ میکرومتر) و باقی آن را ذرات لای تشکیل داده اند. مطابق استاندارد (PI) خاک مذکور به ترتیب ۲/۲، ۳/۲ و ۲/۱ درصد به دست آن نشان خمیری (LL)، حد روانی (LL)، حد خمیری (PL) و نشان خمیری (PI) است. طبق استاندارد ASTM D ۴۳۱۸-۸۷، خاک لس گرگان براساس سیستم طبقه بندی متعدد<sup>۳۱</sup> (ASTM D ۴۲۲-۶۳) از مقدار حدود ۲۱ تا ۲۹ درصد آن را ذرات رس (با درنظر گرفتن درصد ذرات با ابعاد کوچک تر از ۲ میکرومتر) و باقی آن را ذرات لای تشکیل داده اند. مطابق استاندارد (PI) خاک مذکور به ترتیب ۲/۲، ۳/۲ و ۲/۱ درصد به دست آن نشان خمیری (LL)، حد روانی (LL)، حد خمیری (PL) و نشان خمیری (PI) است. طبق استاندارد ASTM D ۸۵۴-۹۲، چگالی و وزیه دانه های جامد (Gs) خاک لس گرگان برابر با ۲/۷۲ به دست آمده است.<sup>[۲۸]</sup> به منظور تعیین منحنی نگهداری آب - خاک، آزمایش کاغذ صافی تماسی روی نمونه های بازسازی شده است. بدین ترتیب خاک لس گرگان براساس سیستم طبقه بندی متعدد<sup>۲۹</sup> (ASTM D ۴۳۱۸-۸۷) از مقدار حدود ۲۱ تا ۲۹ درصد آن را ذرات رس (با درنظر گرفتن درصد ذرات با ابعاد کوچک تر از ۲ میکرومتر) و باقی آن را ذرات لای تشکیل داده اند. مطابق استاندارد (PI) خاک مذکور به ترتیب ۲/۲، ۳/۲ و ۲/۱ درصد به دست آن نشان خمیری (LL)، حد روانی (LL)، حد خمیری (PL) و نشان خمیری (PI) است. طبق استاندارد ASTM D ۴۳۱۸-۸۷، خاک لس گرگان براساس سیستم طبقه بندی متعدد<sup>۳۱</sup> (ASTM D ۴۲۲-۶۳) از مقدار حدود ۲۱ تا ۲۹ درصد آن را ذرات رس (با درنظر گرفتن درصد ذرات با ابعاد کوچک تر از ۲ میکرومتر) و باقی آن را ذرات لای تشکیل داده اند. مطابق استاندارد (PI) خاک مذکور به ترتیب ۲/۲، ۳/۲ و ۲/۱ درصد به دست آن نشان خمیری (LL)، حد روانی (LL)، حد خمیری (PL) و نشان خمیری (PI) است. طبق استاندارد ASTM D ۸۵۴-۹۲، چگالی و وزیه دانه های جامد (Gs) خاک لس گرگان برابر با ۲/۷۲ به دست آمده است.<sup>[۲۸]</sup> به منظور تعیین منحنی نگهداری آب - خاک، آزمایش یافته<sup>۳۲</sup> (ML) از خاک گرم خانه کاملاً خشک شده است. در مرحله ای بعد، مقدار مشخصی از خاک خشک شده، توزین و براساس درصد رطوبت اولیه موردنظر<sup>۳۳</sup> (%) با مقدار مشخصی آب مقططر کاملاً مخلوط و به مدت ۲۴ ساعت درون کیسه های پلاستیکی هوابست قرار داده شد تا توزیع رطوبت در سرتاسر خاک یکنواخت شود. در پژوهش حاضر، از نمونه های استوانه ای با قطر ۳/۸ سانتی متر، ارتفاع ۷/۶ سانتی متر و با وزن مخصوص خشک ۱۵/۱ کیلونیوتون بر متر مکعب (مشابه شرایط طبیعی در محل) استفاده شده است. نمونه ها به صورت بازسازی شده و در قالب مخصوص با استفاده از دستگاه تراکم استاتیکی ساخته شده اند. مشخصات فیزیکی اولیه ای نمونه های آزمایشی در جدول ۱ ارائه شده است. به منظور ساخت نمونه های همگن با چگالی خشک نسبتاً یکسان در ارتفاع نمونه، از روش تراکم کاہش یافته<sup>۳۴</sup> پیشنهادی توسط لد<sup>۳۵</sup> برای ساخت نمونه ها استفاده شده است.<sup>[۳۶]</sup> در روش تراکم کاہش یافته، لایه های زیرین خاک در تراکمی کمتر از تراکم هدف ریخته و کوییده می شوند و کوبش لایه های بالایی موجب تراکم و رسیدن لایه های زیرین به تراکم هدف خواهد شد. در پژوهش حاضر، نمونه های بازسازی شده در سه لایه متراکم

تحت شرایط<sup>۳۶</sup> K با استفاده از دستگاه تحکیم یک بعدی غیراشباع و همچنین شرایط تراکم همسان با استفاده از دستگاه سه محوری غیراشباع بوده است.<sup>[۳۷]</sup> این، تاکنون در مطالعات اندکی به تأثیر تنش برشی اولیه (شرایط تنشی ناهمسان) در رفتار هیدرومکانیکی خاک های فروریزشی با استفاده از دستگاه سه محوری غیراشباع پرداخته شده است.

از مدت ها قبل، نیز پژوهشگران به پیش بینی و مدل سازی اثر ناهمسانی در رفتار خاک ها پرداخته اند. اولین بار کاساگرانده و کارلیو<sup>۳۸</sup> (۱۹۹۴)، ناهمسانی در خاک را از منظر تاریخچه شکل گیری خاک به دو نوع ناهمسانی ذاتی<sup>۳۹</sup> و ناهمسانی القایی<sup>۴۰</sup> تقسیم کردند و در یافتد که ناهمسانی ذاتی در طی فرآیند رسوب گذاری ذرات و ناهمسانی القایی به دلیل تنش ها و کرنش های اعمال شده به خاک پس از مرحله ای شکل گیری ایجاد می شود.<sup>۴۱</sup> سوای و دلوز<sup>۴۲</sup> (۱۹۹۶) از مایل بودن سطح تسیلیم خاک در صفحه<sup>۴۳</sup> p - q دست یافتد.<sup>[۴۴]</sup> سیاوا کمار<sup>۴۴</sup> و همکاران<sup>۴۵</sup> (۲۰۱۰)، در بررسی تأثیر ناهمسانی القایی ناشی از تراکم استاتیکی در رفتار خاک کاولین غیراشباع در یافتد که ناهمسانی اولیه ای نمونه در موقعیت و شبیه خط تراکم نرمال، شکل و سایز سطح تسیلیم و نیز موقعیت خط حالت بحرانی تأثیر می کند.<sup>[۴۶]</sup> ژان<sup>۴۷</sup> و همکاران<sup>۴۸</sup> (۲۰۱۴) تسلیم و نیز ترددگی تحت شرایط تنش ناهمسان انجام دادند و در یافتد که برای نمونه های بازسازی شده و دست نخوردده، یک مکشن ساختاری آستانه وجود دارد، که در مقادیر کمتر از آن با کاهش مکشن ساختاری، کرنش محوری نمونه به طور قابل ملاحظه بی افزایش پیدا می کند. همچنین ایشان به این نتیجه رسیدند که این مکشن ساختاری آستانه تناقض با شروع تسیلیم نمونه است و با افزایش نسبت تنش برشی، مقادیر مکشن تسیلیم افزایش پیدا می کند.<sup>[۴۹]</sup> ژو<sup>۴۹</sup> و همکاران<sup>۵۰</sup> (۲۰۱۴)، مکانیزم گسیختگی یک شبیه خاکی لسی در اثر ترددگی را مطالعه کردند و نشان دادند که رفتار نگهدارش است آب - خاک لس وابسته به نسبت تنش برشی و سطح تنش همه جانبه است.<sup>[۵۱]</sup> بوان فیل<sup>۵۱</sup> و همکاران<sup>۵۲</sup> (۲۰۱۶)، با انجام آزمایش های سه محوری غیراشباع تحت مسیر های تنش مختلف به بررسی تأثیر ناهمسانی اولیه ای ناشی از تراکم استاتیکی در رفتار نمونه های خاک لای رس دار غیراشباع پرداختند و به این نتیجه رسیدند که در آزمایش های تراکم همسان تحت مکشن ثابت، کرنش های برشی قابل توجهی در نمونه ها ایجاد شده است، که ناشی از ناهمسانی اولیه ای تعلق داشده در اثر تراکم استاتیکی نمونه است.<sup>[۵۳]</sup> نتایج پژوهش های اخیر انجام شده در مورد بررسی تأثیر ناهمسانی در رفتار نمونه هایی از خاک های متور شونده<sup>۵۴</sup> غیراشباع<sup>۵۵</sup> و خاک های فروریزشی<sup>۵۶</sup> غیراشباع<sup>۵۷</sup> نشان می دهند که رفتار قبیله شکل نمونه ها تحت شرایط تنش ناهمسان به صورت ترکیبی از کرنش های حجمی و برشی است. درنهایت، به طور کلی می توان نتیجه گرفت که رفتار هیدرومکانیکی خاک های غیراشباع متاباً از مسیر نشان<sup>۵۸</sup> سطح تنش همه جانبه، نسبت تنش برشی و مکشن ساختاری است. اگرچه با گذشت زمان، گستره مطالعات انجام شده بر رفتار خاک های فروریزشی وسیع تر شده است؛ اما با این حال، رفتار هیدرومکانیکی خاک های غیراشباع<sup>۵۹</sup> تحت تأثیر ناهمسانی القایی (وجود تنش برشی اولیه) در دستگاه سه محوری غیراشباع به ندرت بررسی شده است. لذا در پژوهش حاضر با تمرکز بر بررسی اثر تنش برشی اولیه در رفتار هیدرومکانیکی نمونه های بازسازی شده از خاک لس گرگان، تعدادی آزمایش های سه محوری غیراشباع در مکشن های ساختاری متوجه شامل<sup>۶۰</sup>



شکل ۱. (الف) پوش منحنی دانه‌بندی لس گرگان؛ (ب) منحنی نگهداشت آب - خاک نمونه‌های بازسازی شده لس گرگان؛ (پ) منحنی تراکم استاندارد لس گرگان؛ (ت) تصویر گرفته شده از نمونه‌ی بازسازی شده توسط میکروسکوپ الکترونی روبشی با بزرگنمایی  $3500\times$  برابر.<sup>[۲۸]</sup>

گرفته شده توسط میکروسکوپ الکترونی (SEM) <sup>[۱۵]</sup> از نمونه‌های بازسازی شده قبل از شروع آزمایش مشاهده می‌شود؛ که مطابق آن، نمونه‌های بازسازی شده خاک لس گرگان ساختاری متخلخل و متشکل از حفره‌های ریز و درشت دارند، که باعث بروز رفتار فروریزشی در مسیر ترشیگی تحت بارگذاری اعمالی می‌شود.

### ۳. دستگاه و تجهیزات آزمایش

به منظور انجام آزمایش‌های سه محوری غیرابشاع تحت شرایط تنفس همسان و ناهمسان از یک دستگاه سه محوری ارتقاء یافته در دانشگاه صنعتی شریف با قابلیت کنترل مکش ساختاری و همچنین قابلیت بارگذاری به صورت کنترل کرنش و تنفس استفاده شده است؛ که سه تنظیم‌کننده برقی فشار دارد، که از یک کمپرسور با ظرفیت اسمی ۱۵ بار تعییه می‌شود. تنظیم‌کننده‌ها به همراه دو سامانه‌ی تبدیل فشار هوا به آب، وظیفه‌ی تأمین فشار همه جانبه، فشار هوای حفره‌یی و فشار آب حفره‌یی را دارند. همچنین جهت اعمال تنفس برخی اولیه از یک جک بر قی استفاده شده است. مقادیر تغییر حجم نمونه، تغییر حجم آب حفره‌یی، تغییر شکل قائم و نیروی محوری در طول آزمایش توسط دو دستگاه اندازه‌گیری تغییر حجم اتوماتیک، یک حسگر نیرو و یک حسگر تغییر مکان سنج اندازه‌گیری شده‌اند. کلیه‌ی تنظیم‌کننده‌های برقی، جک بر قی و حسگرهای دستگاه به یک واحد قرائت، کنترل و ثبت داده با قابلیت ثبت یک داده در هر ۳ ثانیه متصل بوده و بدین ترتیب قابلیت اعمال مسیرهای تنفس مختلف و ثبت داده‌های خروجی به صورت تمام اتوماتیک فراهم شده است. در دستگاه اخیر،

جدول ۱. خصوصیات فیزیکی نمونه‌ها.<sup>[۲۹]</sup>

مشخصه‌ی خاک	مقدار
نوع خاک	ML
مقدار لای (%)	۷۵-۶۷
مقدار رس (%)	۲۹-۲۱
مقدار ماسه (%)	۴
حد روانی (%)	۳۲٪
حد خمیری (%)	۲۵٪
اندیس خمیری (%)	۷٪
چگالی ویژه دانه‌های جامد (Gs)	۲.۷۲
وزن مخصوص خشک (کیلوگرم بر مترمربع)	۱۵/۱
نسبت تخلخل اولیه	۰.۸
درصد رطوبت اولیه (%)	۱۱

و با توجه به توصیه‌ی LD برایجاد نمونه‌های شل با پتانسیل فروریزش بالاتر، مقدار پارامتر درصد کاهش تراکم (Un) در لایه اول برابر با ۱۵٪ درنظر گرفته شده است. همچنین منحنی تراکم خاک آزمایشی مطابق پراکتور استاندارد در شکل ۱- (پ) مشاهده می‌شود؛ که مطابق آن، شرایط اولیه‌ی نمونه‌ها در ناحیه‌ی خشک منحنی تراکم قرار گرفته است. نتایج پژوهش‌های انجام شده توسط برخی پژوهشگران،<sup>[۳۰-۳۱]</sup> بر روی نمونه‌های بازسازی شده نیز نشان می‌دهد که نمونه‌های متراکم شده در بخش خشک منحنی تراکم، ساختاری فروریزشی دارند. همچنین در شکل ۱- (ت)، تصویر

جدول ۲. مشخصات و برنامه‌ی آزمایش‌های ترشدگی و برش.

مرحله‌ی برش نرخ جابجایی محوری ( $\mu\text{m}/\text{min}$ )	مرحله‌ی ترشدگی						گروه و شماره‌ی آزمایش
	$\eta$	$p_n$ (kPa)	$q$ (kPa)	$\psi_f$ (kPa)	$\psi_i$ (kPa)	$W_i$ (%)	
۵	۰	۱۰۰	۱۰۰	۴۰۰	۷۵۰	۱۱	۱
	۲	۲۰۰					گروه اول ۲
۵	۰	۱۰۰	۱۰۰	۳۰۰	۷۵۰	۱۱	۴
	۲	۲۰۰					گروه دوم ۵

و تعریف نسبت به یکدیگرند. متغیرهای  $k$  و  $\eta$  مطابق روابط ۴ و ۵ تعریف شده‌اند:

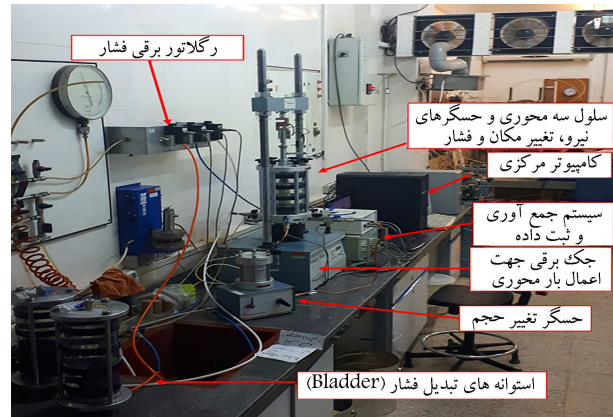
$$k = \frac{\sigma_2}{\sigma_1} \quad (4)$$

$$\eta = \frac{q}{p_n} \quad (5)$$

## ۵. برنامه‌ی آزمایش‌ها و روند انجام آنها

به منظور بررسی رفتار هیدرومکانیکی نمونه‌های بازسازی شده از خاک لس گرگان، مجموعه‌یی از آزمایش‌های سه محوری غیراشباع تحت مسیر «تنش خالص میانگین ثابت - مکش ساختاری کاوشی» در محدوده‌ی مکش‌های متوسط و تحت تنش‌های برشی اولیه‌ی متفاوت و به صورت کنترل تنش انجام شده است. در انتهای هر آزمایش نیز جهت بررسی رفتار برشی، آزمایش برش سه محوری کنترل کرنش با نرخ جابجایی محوری ۵ میکرومتر بر ثانیه انجام شده است. این نرخ جابجایی براساس مطالعات قبلی انجام شده بر روی خاک لس گرگان، [۱۸] و به منظور اطمینان از ایجاد شرایط زهکشی شده‌ی کامل و ثابت ماندن مکش ساختاری در طول مرحله‌ی برش انتخاب شده است. برنامه‌ی آزمایش‌های انجام شده در جدول ۲ ارائه شده است؛ که در آن، برای مرحله‌ی ترشدگی مقادیر رطوبت اولیه‌ی نمونه ( $W_i$ )، مکش ساختاری اولیه ( $\psi_i$ )، مکش ساختاری هدف ( $\psi_f$ )، تنش تقاضلی ( $q$ )، تنش خالص میانگین ( $\psi$ ) و نسبت تنش برشی ( $\eta$ ) اختصاص یافته‌اند.

مطابق جدول ۲، در گروه اول آزمایش‌ها، نمونه‌هایی با وزن مخصوص خشک اولیه ۱۵/۱ کیلونیوتن بر مترمکعب و رطوبت اولیه ۱۱٪ (متناظر درجه اشباع ۴/۳۷٪ و مکش ساختاری ۷۵۰ کیلوپاسکال)، تحت تنش خالص میانگین ۱۰۰ کیلوپاسکال با نسبت‌های تنش برشی ۰ $\eta = ۱$ ،  $\eta = ۲$  و  $\eta = ۳$  با طی کردن مسیر ترشدگی از مکش ساختاری اولیه ۵۵ کیلوپاسکال در مکش ساختاری هدف ۴۰ کیلوپاسکال به تعادل رسیده‌اند. در گروه دوم، نمونه‌ها با شرایط اولیه‌ی مشابه با گروه اول و تحت تنش‌های اعمالی مشابه با طی کردن مسیر ترشدگی از مکش ساختاری اولیه ۷۵۰ کیلوپاسکال، در مکش‌های ساختاری هدف ۴۰۰ و ۳۰۰ کیلوپاسکال به تعادل رسیده‌اند. مسیر تنش آزمایش‌های انجام شده در فضای سه بعدی  $\psi - p_n - q$  در شکل ۳ مشاهده می‌شود؛ که مطابق آن، در گام اول با اعمال تراکم همسان و یا ناهمسان تحت مکش ساختاری اولیه (۷۵۰ کیلوپاسکال)، نمونه تحت مقادیر مورد نظر تنش خالص میانگین و تنش برشی اولیه و سپس تحت مقادیر ثابت تنش خالص میانگین و تنش برشی اولیه، نمونه تا مکش ساختاری مورد نظر (۳۰۰) یا ۴۰۰ کیلوپاسکال) در معرض ترشدگی قرار گرفته است. پس از اتمام مرحله‌ی ترشدگی، تمامی نمونه‌ها تحت مکش ساختاری ثابت و به صورت کنترل کرنش با نرخ



شکل ۲. نمایی از دستگاه سه محوری غیراشباع ارتقا یافته. [۲۹، ۲۸]

به منظور کنترل مکش ساختاری از روش انتقال محور  $1^{\text{st}}$  استفاده می‌شود. [۲۲] برای این منظور از یک دیسک سرامیکی متخلخل (HAE) [۱۷] با فشار ورودی هوای ۵ بار استفاده شده است. در شکل ۲، نمایی کامل از دستگاه سه محوری غیراشباع تمام اتوماتیک آزمایشگاه مکانیک خاک پیشرفتی دانشگاه صنعتی شریف مشاهده می‌شود. [۲۹، ۲۸]

## ۴. معرفی متغیرهای تنش و نسبت تنش

در پژوهش حاضر متغیرهای اصلی تنش در خاک مطابق روابط ۱ الی ۳ تعریف شده‌اند:

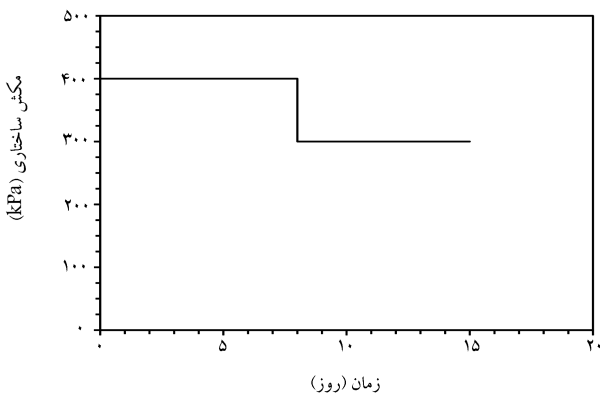
$$p_n = \frac{\sigma_1 + \sigma_2 + \sigma_3}{3} - u_a \quad (1)$$

$$\psi = u_a - u_w \quad (2)$$

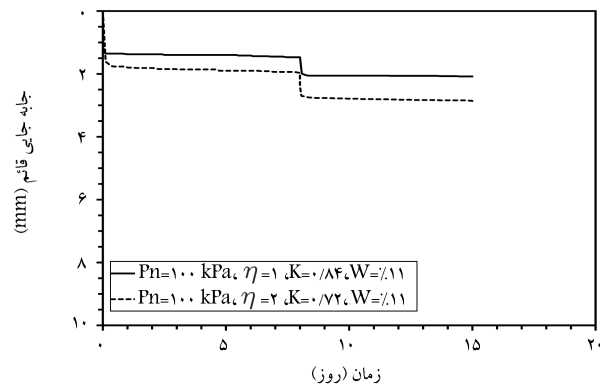
$$q = \sigma_1 - \sigma_3 \quad (3)$$

که در آنها،  $p_n$  تنش خالص میانگین،  $\sigma_1$ ،  $\sigma_2$  و  $\sigma_3$  تنش‌های اصلی و  $u_a$  و  $u_w$  به ترتیب فشار هوای آب حفره‌ی هستند. متغیرهای  $\psi$  و  $q$  نیز به ترتیب معرف مکش ساختاری و تنش تقاضلی هستند.

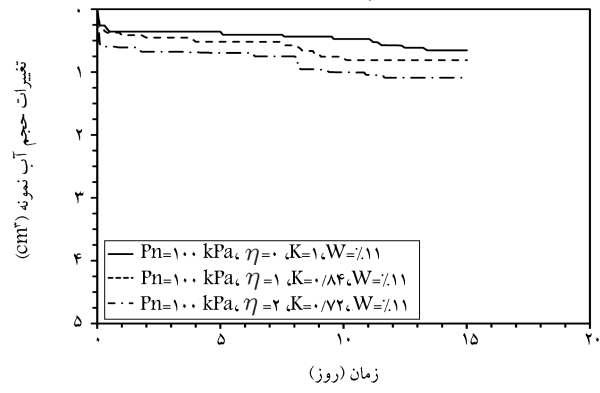
در پژوهش حاضر، نسبت تنش‌های اعمالی به نمونه در شرایط ناهمسان با دو متغیر نسبت تنش‌های اصلی ( $k$ ) و نسبت تنش‌های برشی ( $\eta$ ) بیان شده است. متغیرهای  $k$  و  $\eta$  هر دو بیان‌کننده‌ی نسبت تنش هستند و از نظر ریاضی قابل تبدیل



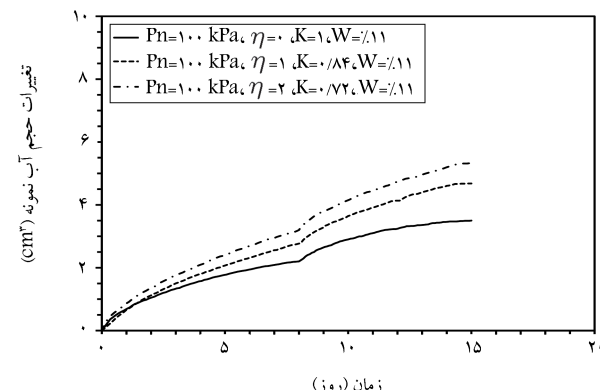
الف) تغییرات مکش اعمالی بر حسب زمان؛



ب) تغییر شکل قائم نمونه بر حسب زمان؛

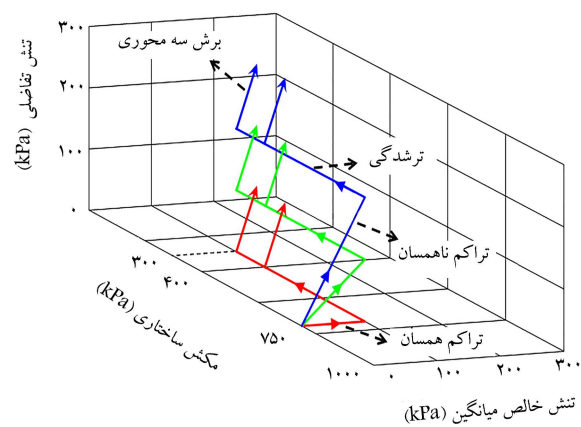


پ) تغییرات حجم نمونه بر حسب زمان؛



ت) تغییرات حجم آب نمونه بر حسب زمان.

شکل ۴. نتایج آزمایش‌های ترشدگی.



شکل ۳. مسیر تنش‌های اعمالی در فضای  $p - q - \dot{q}$ .

جابجایی قائم ثابت ۵ میکرومتر بر دقیقه و تا کرنش محوری ۲۰ الی ۲۵ درصد تحت برش قرار گرفته‌اند. این تذکر لازم است که با توجه به نتایج مطالعات پیشین صورت گرفته بر روی رفتار برشی خاک لس گرگان،<sup>[۸]</sup> این محدوده از نسبت‌های تنش برشی به گونه‌یی در نظر گرفته شده است که نمونه در مراحل ابتدایی مرحله‌ی ترشیدگی (محدوده‌ی مکش‌های متوسط به بالا) به گسیختگی نرسد تا بتوان اثر تنش برشی اولیه را در رفتار نمونه‌ها در هر دو مسیر: ۱. ترشیدگی و ۲. برش سه محوری، تأثیرگذار ندانند.<sup>[۹]</sup>

## ۶. نتایج آزمایش‌ها

در بخش کنونی، نتایج به دست آمده از آزمایش‌های سه محوری غیر اشیاع با تمرکز بر ارزیابی اثر نسبت‌های تنش برشی (تش‌های برشی اولیه) و همچنین اثر مکش ساختاری در رفتار هیدرومکانیکی نمونه‌های بازسازی شده از خاک لس گرگان بررسی شده است.

### ۱.۶. اثر نسبت تنش و مکش ساختاری در رفتار تراکمی

برای ارزیابی اثر تنش برشی اولیه در رفتار ترشیدگی نمونه‌های بازسازی شده از خاک لس گرگان، آزمایش‌های ذکر شده در جدول ۲ انجام شده است؛ که مطابق آنها، نزدیکی تغییرات حجم نمونه و حجم آب حفره‌یی به ترتیب کمتر از ۱/۰ و ۰/۵ سانتی‌متر مکعب در روز به عنوان معیار رسیدن به تعادل هیدرومکانیکی در مکش ساختاری اعمال شده در نظر گرفته شده است.<sup>[۷]</sup> این تذکر لازم است که با توجه به در نظر گرفتن یک معیار تعادل هیدرومکانیکی یکسان برای تمام آزمایش‌ها در همه‌ی گام‌های ترشیدگی، خطاهای اندازه‌گیری تغییر حجم ناشی از عوامل مختلفی، مانند: تغییر حجم خرشه سلول سه محوری و تغییر آب حفره‌یی برای تمام آزمایش‌ها به طور یکسان در نظر گرفته شده است، بنابراین زمان در تحلیل نتایج آزمایش‌ها تأثیری نداشته است. منحنی‌های تغییرات حجم نمونه و حجم آب حفره‌یی بر حسب زمان به ترتیب در شکل‌های ۴-پ و ۴-ت مشاهده می‌شوند؛ که در آنها به طور قراردادی، کاهش حجم نمونه و مقدار آب جذب شده با علامت مثبت در نظر گرفته شده است. همچنین شایان ذکر است که به علت تشابه نتایج به دست آمده از آزمایش‌های ترشیدگی گروه اول با نتایج به دست آمده از گام اول آزمایش‌های ترشیدگی گروه دوم تحت مکش ساختاری هدف ۴۰۰ کیلوپاسکال (تأییدی بر تکرار پذیری آزمایش‌های انجام شده) فقط نتایج آزمایش‌های ترشیدگی گروه دوم ارائه شده است. نتایج به دست آمده نشان می‌دهند که

## ۲.۶. اثر نسبت تنش و مکش ساختاری در رفتار برشی

پس از اتمام مرحله‌ی ترشدگی، کلیه‌ی نمونه‌ها تحت شرایط مکش ساختاری ثابت و به صورت کنترل کرنش با نزخ جابجایی قائم ثابت ۵ میکرومتر بر دقیقه تحت برش سه محوری قرار گرفتند.

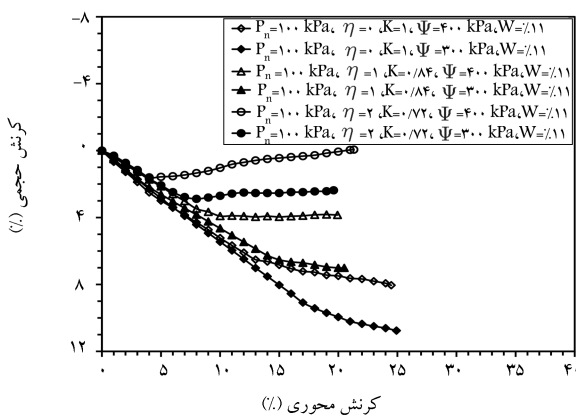
نتایج حاصل آزمایش‌های برش سه محوری در شکل ۵ مشاهده می‌شوند؛ که در آن، متغیرهای  $W_i$  و  $p_n$  به ترتیب بیانگر رطوبت اولیه و تنش خالص میانگین نمونه‌ها در مرحله‌ی ترشدگی است. از آنجایی که نمونه‌های آزمایشی در طول مسیر ترشدگی تحت مسیرهای تنش هیدرومکانیکی متفاوتی قرار گرفته‌اند (شکل ۳)، شرایط هیدرومکانیکی آنها (نسبت تخلخل، درجه‌ی اشباع، مکش ساختاری، تنش همه‌جانبه‌ی خالص و تنش برشی اولیه) در آغاز مرحله‌ی برش متفاوت است (جدول ۲ و شکل ۳). لذا با توجه به تأثیر شرایط هیدرومکانیکی نمونه در شروع مرحله‌ی برش در رفتار برشی، نمونه‌های آزمایشی رفتار برشی متفاوتی را نشان داده‌اند (شکل‌های ۵ - الف و ۵ - ب). همان‌طور که مشاهده می‌شود، در نمونه‌هایی که در مرحله‌ی ترشدگی تحت تنش خالص میانگین و تنش برشی اولیه (یا نسبت تنش) مشابه بوده‌اند، مقدار تنش تقاضلی قابل تحمل توسط نمونه در مرحله‌ی برش با افزایش مکش ساختاری، افزایش یافته است، چرا که نمونه‌های با مکش ساختاری بیشتر، پیوندهای بین ذرات قوی‌تر و در نتیجه ساختار مستحکم‌تری داشته و مقاومت بیشتری از خود نشان داده‌اند. همچنین تحت شرایط مکش ساختاری یکسان، با افزایش نسبت‌های تنش برشی و یا به عبارتی افزایش تنش برشی اولیه در مرحله‌ی ترشدگی، مقدار تنش تقاضلی قابل تحمل توسط نمونه در مرحله‌ی برش کاهش یافته است. این رفتار بدین خاطر است که به علت اعمال تنش برشی اولیه، نمونه بخشی از مقاومت برشی خود را در مرحله‌ی ترشدگی از دست داده و بنابراین تنش برشی کمتری را در مرحله‌ی برش تحمل کرده است. تغییرات بیشینه‌ی تنش تقاضلی قابل تحمل توسط نمونه‌ها در مرحله‌ی برش بر حسب نسبت‌های تنش برشی در مرحله‌ی ماقبل برش و برای مقادیر مختلف مکش ساختاری در شکل ۶ - الف) مشاهده می‌شود.

مطابق شکل (۵ - الف)، در آزمایش‌هایی که نمونه‌ها در مرحله‌ی ترشدگی تحت نسبت تنش برشی صفر (شرایط تنش همسان) و یا نسبت تنش برشی ۱ (شرایط تنش ناهمسان) بوده‌اند، رفتار مقاومت برشی نمونه‌ها، سخت‌شونده و مشابه رفتار خاک‌های رسی عادی تحریک‌یافته و یا خاک‌های ماسه‌یی شل است. تغییر حجم نمونه‌های مذکور در مرحله‌ی برش (شکل ۵ - ب) نیز تأییدکننده‌ی چنین رفتاری است. از طرفی، در آزمایش‌هایی که نمونه‌ها در مرحله‌ی ترشدگی تحت نسبت تنش برشی ۲ قرارداشته‌اند، رفتار مقاومت برشی (شکل ۵ - الف) مابین حالت‌های سخت‌شونده و نرم‌شونده بوده و این نمونه‌ها در شروع مرحله‌ی برش، ابتدا چار کاهش حجم و سپس چار انبساط شده‌اند (شکل ۵ - ب). این رفتار نیز مشابه رفتار خاک‌های رسی پیش تحریک‌یافته و یا خاک‌های ماسه‌یی مترکم تحت تنش‌های همه‌جانبه‌ی کم است، که دلیل آن در نسبت تنش‌های مختلف شرایط تنش متفاوت نمونه‌ها در مرحله‌ی ترشدگی است، به‌گونه‌یی که نمونه‌های با نسبت تنش برشی ۲ نسبت به سایر نمونه‌ها تحت کمترین تنش خالص همه‌جانبه قرار داشته‌اند. اعمال تنش خالص همه‌جانبه‌ی پایین در کنار مکش ساختاری نسبتاً بالا، موجب تفاوت رفتار مقاومت برشی و تغییر حجم نمونه‌های تحت نسبت تنش برشی ۲ در مقایسه با سایر نمونه‌ها شده است. در شکل (۶ - ب)، تغییرات کرنش حجمی متناظر حالت بحرانی بر حسب نسبت‌های تنش برشی در مرحله‌ی ماقبل برش برای مقادیر مختلف مکش ساختاری ارائه شده است.

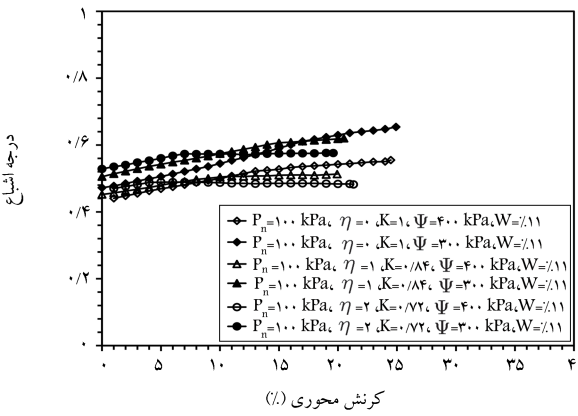
زمان تعادل برای نمونه‌های بازسازی شده در مسیر ترشدگی و برای رسیدن از مکش ساختاری اولیه‌ی ۷۵۰ کیلوپاسکال به مکش ساختاری هدف ۴۰۰ کیلوپاسکال، حدوداً ۸ روز و برای رسیدن از مکش ساختاری ۴۰۰ کیلوپاسکال به ۳۰۰ کیلوپاسکال، حدوداً ۷ روز بوده است.

در منحنی‌های مربوط به تغییرات حجم و همچنین جابجایی قائم نمونه‌ها (شکل‌های ۴ - ب و ۴ - ب) مشاهده می‌شود که تحت شرایط مکش ساختاری و تنش خالص میانگین ثابت، با افزایش نسبت‌های تنش برشی از صفر تا ۲، به دلیل افزایش تنش برشی اولیه، نمونه‌ها کاهش حجم بیشتری از خود نشان داده‌اند. همچنین در منحنی‌های مذکور پرش‌هایی دیده می‌شود که بیانگر فروریزش‌های ایجادشده در ساختار خاک لس است. با توجه به جدول ۱، خاک لس گرگان به طور متوسط، ۲۵٪ رس دارد. تمایل بالای ذرات رس به جذب آب و نیز کاهش تدریجی تنش مؤثر اعمالی به نمونه در طی فرایند ترشدگی موجب بروز انذکی تورم در نمونه‌ها می‌شود. از طرف دیگر، در اثر افزایش درجه‌ی اشباع نمونه (کاهش مکش ساختاری)، پیوندهای بین دانه‌یی سست شده و تحت تنش خالص میانگین اعمال شده به نمونه، کاهش حجم یا فروریزش در ساختار خاک رخ داده است. در محدوده‌ی مکش‌های متوسط، نرخ وقوع فروریزش در ساختار خاک بیشتر از نرخ تورم ایجادشده ناشی از کاهش تنش مؤثر و رفتار تورمی ذرات رس بوده است، بنابراین در منحنی‌های تغییر حجم، رفتار فروریزشی مشاهده می‌شود. این تذکر لازم است از آنجایی که نمونه‌های بازسازی شده با رطوبت اولیه ۱۱٪ و در بخش خشک منحنی پراکن مترکم شده‌اند، لذا ساختاری متخلخل و متسلک از حفره‌های ریز و درشت دارند (شکل ۱ - ت). بدین ترتیب، در اثر اعمال تنش‌های خارجی، ابتدا حفره‌های درشت مترکم شده و با افزایش سطح تنش، نوبت به حفره‌های ریزتر رسیده است.

در منحنی‌های مربوط به تغییر حجم آب حفره‌یی در طی فرایند ترشدگی (شکل ۴ - ت) مشاهده می‌شود که در کلیه‌ی آزمایش‌ها، به دلیل کاهش مکش ساختاری ناشی از فرایند ترشدگی، نمونه شروع به جذب آب کرده و حجم آب حفره‌یی افزایش یافته است. همچنین تایگ آزمایش‌ها نشان می‌دهند که با افزایش تنش برشی اولیه (افزایش ۶) تحت تنش خالص میانگین ثابت، مقادیر آب جذب شده توسط نمونه افزایش یافته است. به نظر می‌رسد که این رفتار به این دلیل است که در محدوده‌ی مکش‌های ساختاری متوسط که در پژوهش حاضر بررسی شده است، بیشتر حفره‌های درشت موجود در ساختار خاک دچار ترشدگی نشده و جذب آب غالباً توسط حفره‌های ریز خاک صورت گرفته است. با شروع فرایند ترشدگی و جذب آب توسط نمونه، تورم ذرات رس از یک سو و اعمال تنش برشی اولیه از سوی دیگر موجب شده است که اندازه‌ی بخشی از حفره‌های موجود در ساختار اولیه خاک (حالی که مکش متناظر ترشدگی آنها انذکی کمتر از مکش اعمالی به نمونه است) به اندازه‌یی کاهش یابد که مکش متناظر ترشدگی حفره‌های موجود از مکش اعمالی به نمونه رفتار رود. این امر به همراه تمایل بالای جذب آب ذرات رس موجب افزایش تمایل نمونه به جذب آب شده است. با این حال، در محدوده‌ی مکش‌های متوسط و تحت تنش خالص میانگین در نظر گرفته شده در پژوهش حاضر، نیروهای بین دانه‌یی کاملاً از بین نرخه و میزان کاهش حجم حفره‌های خاک و به دنبال آن کاهش ظرفیت جذب آب هنوز به اندازه‌یی نشده است که تمایل به افزایش جذب آب نمونه (ناشی از تمایل جذب آب ذرات رس و نیز افزایش مکش ساختاری داخلی نمونه به دنبال کاهش اندازه‌ی بخشی از حفره‌های در اثر رفتار تورمی ذرات رس و اعمال تنش برشی اولیه) را تحت تأثیر قرار دهد. بنابراین، با افزایش تنش برشی اولیه، میزان جذب آب نمونه افزایش پیدا کرده است.

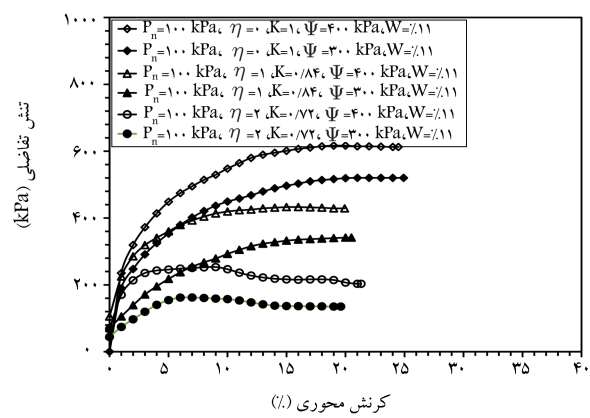


ب) تغییرات کرنش حجمی بر حسب کرنش محوری؛

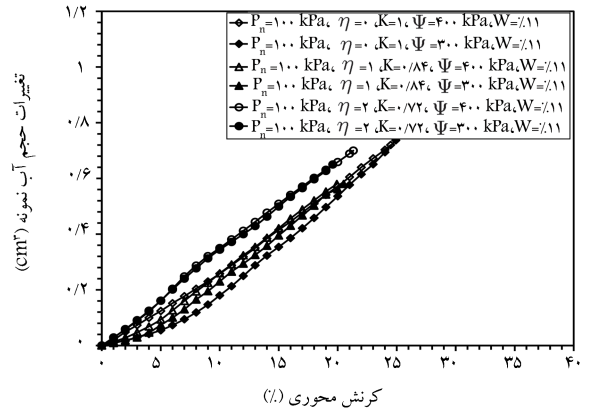


ت) تغییرات درجه اشباع بر حسب کرنش محوری.

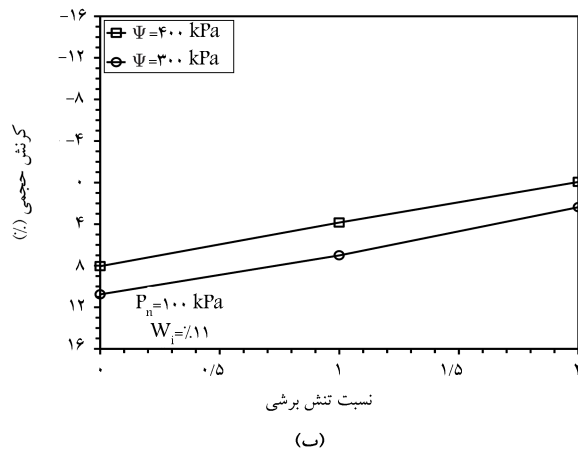
شکل ۵. نتایج آزمایش‌های برش سه‌محوری.



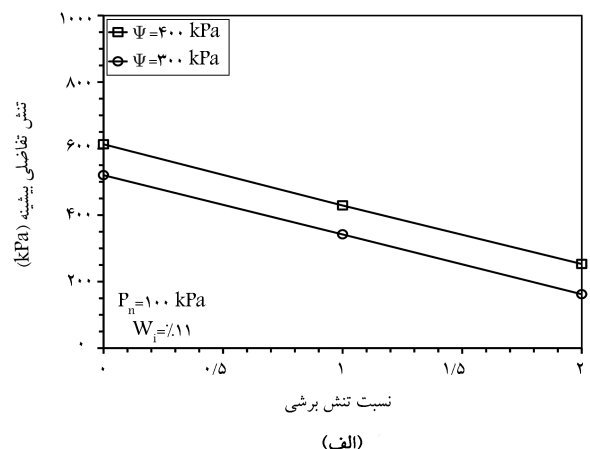
الف) تغییرات تنش تفاضلی بر حسب کرنش محوری؛



پ) تغییرات حجم آب نمونه بر حسب کرنش محوری؛



(ب)



(الف)

شکل ۶. الف) تغییرات تنش تفاضلی بیشینه در مرحله‌ی برش با نسبت تنش برشی ( $\eta$ ) در مرحله‌ی ترشدگی؛ ب) تغییرات کرنش حجمی متناظر حالت بحرانی با نسبت تنش برشی ( $\eta$ ) در مرحله‌ی ترشدگی.

دیگر، باعث کاهش حجم حفره‌ها و در نتیجه افزایش مکش ساختاری داخلی خاک شده و این تفاوت ایجاد شده بین مکش ساختاری اعمالی و مکش ساختاری داخلی نمونه به همراه تمایل بالای جذب آب بخش رسی ساختار خاک، موجب تمایل نمونه به جذب آب شده است. در حالی که نمونه رفتار اتساعی از خود نشان می‌دهد، انسیاست نمونه موجب کاهش فشار آب حفره‌ی و افزایش مکش ساختاری داخلی نمونه نسبت به مکش اعمالی می‌شود؛ که این امر در کنار تمایل

تغییرات درجه‌ی اشباع بر حسب کرنش محوری نمونه‌ها در مرحله‌ی برش در شکل (۵ - ت) مشاهده می‌شود؛ که مطابق آن، روند تغییرات درجه‌ی اشباع به میزان تغییرات حجم نمونه و حجم آب حفره‌ی در طی برش وابسته است. مطابق با شکل (۵ - پ)، تمامی نمونه‌ها در طول مرحله‌ی برش، جذب آب داشته‌اند؛ زیرا علی‌رغم اعمال مکش ساختاری ثابت و رفتار تراکمی نمونه حین برش، وقوع فروریزش در ساختار خاک از یک سو و تورم ذرات رس در اثر جذب آب از سوی

$$\text{که در آن، } c'_i \text{ چسبینگی ظاهری خاک است و به صورت رابطه‌ی ۸ تعریف می‌شود:} \\ c'_i = c' + (u_a - u_w) \tan(\phi^b) \quad (8)$$

با استفاده از نتایج بدست آمده از آزمایش های برش سه محوری غیر انشایان انجام شده در مکش های ساختاری ۳۰۰ و ۴۰۰ کیلوپاسکال و جایگذاری نتایج بدست آمده در رابطه ۷، مقادیر متغیرهای مقاومت برشی ( $c'$ ,  $\phi'$  و  $\phi$ ) برای نمونه های بازسازی شده خاک فروریزشی لس گرگان با رطوبت اولیه ۱۱٪ به ترتیب برابر با ۴/۷ کیلوپاسکال، ۳۲/۹ درجه و ۱۳/۶ درجه بدست آمده است. همچنین با استفاده از رابطه ۸، مقادیر چسبندگی ظاهری ( $c'$ ) در مکش های ساختاری ۳۰۰ و ۴۰۰ کیلوپاسکال به ترتیب برابر با ۷۷/۱ و ۱۰/۱/۲ کیلوپاسکال بدست آمده است، که این امر نشان دهنده افزایش چسبندگی ظاهری با افزایش مکش ساختاری است.

#### ٤.٦. تئوری حالت بحرانی و رویکرد تنش مؤثر

در مطالعات اولیه بر روی رفتار خاک های غیراشباع، پژوهشگران مختلف نتایج در دست گردیدند تا با ارائه مدل های مختلف بر پایه تئوری متفاوت نتیجه بیش از ۲۰٪ تفاوت رفتار خاک های غیراشباع را توصیف کنند. با این حال، تعدادی از پژوهشگران مانند جنینگر و برلن (۱۹۶۲)،<sup>[۲۵]</sup> بیان کردند که رابطه ای تنش مؤثر به تهابی نمی تواند رفتار خاک های فروریزشی غیراشباع را توجیه کند و اشاره کرد که بر طبق نظرهای تنش مؤثر، با افزایش درجه ای اشباع خاک، مقدار تنش مؤثر کاهش می یابد. لذا انتظار می رود که خاک رفتار تورمی نشان دهد، اما در مورد خاک های فروریزشی دقیقاً عکس این مطلب اتفاق می افتد. در این خصوص، این تذکر لازم است که استدلال آنها در حوزه تغییر شکل های کشسان اعتبار دارد؛ در حالی که بدیدهی فروریزش یک تغییر شکل خمیری است، که به دلیل کاهش نیروهای نگهدارنده بین دانه های رخ می دهد. لذا برای مرتب کردن پارامترهای تنش و کرنش جهت توصیف بدیدهی فروریزش باید روابط رفتاری مناسبی استفاده شود و در این رابطه نمی توان از اصول مکانیک خاک کلاسیک پیروی کرد. در این راستا، تعدادی از پژوهشگران، مانند قاسم زاده و امیری (۱۳۰) و قاسم زاده و همکاران (۱۷۰) نشان داده اند که با استفاده از یک چارچوب کشسان خمیری مناسب می توان رفتار پیچیده خاک های غیراشباع مانند بدیدهی فروریزش ناشی از ترشگی را توصیف کرد.<sup>[۲۶، ۲۷]</sup> بیش از ۱۹۵۹ با توسعه ای معادله تنش مؤثر کلاسیک ترازاتی به حالت غیراشباع، رابطه ای ۹ را برای پیان تنش مؤثر پیشنهاد کرده است:<sup>[۲۸]</sup>

$$p' = (p - u_a) + \chi(u_a - u_w) \quad (9)$$

که در آن،  $p$  تنش مؤثر میانگین،  $p$  تنش کل میانگین و  $\chi$  پارامتر تنش مؤثر هستند.  
رابطه‌ی ۷ را می‌توان به صورت رابطه‌ی  $1^{\circ}$  نوشت:

$$p' = p_n + \chi \cdot \psi \quad (\text{1} \circ)$$

یکی از مهم‌ترین مسائل در رابطه‌ی پیشنهادی بیشایپ، نحوی تعریف پارامتر تنش مؤثر ( $\chi$ ) است. تاکنون روابط متعددی جهت محاسبه‌ی پارامتر تنش مؤثر پیشنهاد شده است، که برخی از آنها تابعی از مکش ساختاری و برخی دیگر تابع درجه‌ی شباع هستند. یکی از رایج‌ترین روابط، برای قراردادن پارامتر تنش مؤثر با درجه‌ی شباع است.<sup>[۴۱-۳۹]</sup> برخی دیگر از پژوهشگران، به جای درجه‌ی اشباع از پارامتر درجه‌ی اشباع مؤثر استفاده کرده‌اند.<sup>[۴۰-۴۱]</sup> که به صورت رایطه‌ی ۱۱ تعریف می‌شود:

$$S_e = \frac{S_r - S_{r,res}}{S_{r^*} - S_{r,res}} \quad (11)$$

بالای جذب آب بخش رسی، منجر به جذب آب توسط نمونه می‌شود و بنابراین همان‌گونه که در شکل (۵ - ت) مشاهده می‌شود، در آزمایش‌های ۱، ۲، ۴ و ۵ رفتار تراکمی از یک سو و جذب آب توسط نمونه از سوی دیگر، باعث افزایش تدریجی درجه‌ی اشباع در حین برش شده است. در آزمایش‌های ۳ و ۶ نیز تا زمانی که نمونه در طی برش رفتار تراکمی داشته است، درجه‌ی اشباع خاک افزایش پیدا کرده است، اما با شروع رفتار اتساعی و با وجود تمایل نمونه به جذب آب، افزایش حجم نمونه به اندازه‌ی بوده است که باعث ایجاد روند کاهشی درجه‌ی اشباع شده است.

### ۳.۶. متغیرهای مقاومت برشی با رویکرد متغیرهای مستقل تنش

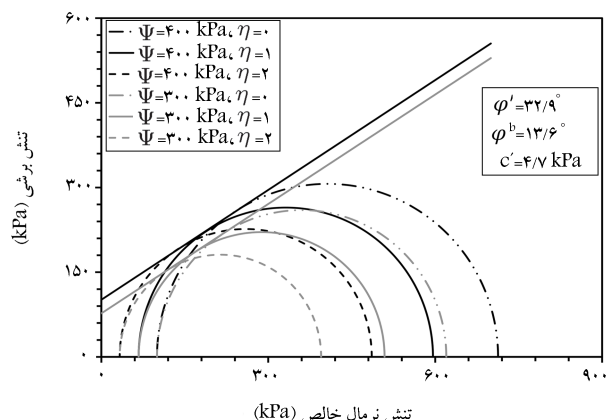
فردرلاند و مورگنسترن<sup>۱۸</sup> (۱۹۷۸)، با تعمیم پوش گسیختگی برشی موهر - کلمب، رابطه‌ی ۶ را برای محاسبه‌ی مقاومت برشی در خاک‌های غیر اشباع پیشنهاد کرداند.<sup>[۲]</sup>

$$\tau = c' + (u_a - u_w) \tan(\phi^b) + (\sigma - u_a) \tan(\phi') \quad (8)$$

که در آن،  $c'$  چسبندگی در مکش ساختاری و تنش نرمال خالص صفر،  $\phi$  زاویه ای اصطکاک داخلی متناظر با تغییرات تنش نرمال خالص و  $\phi'$  زاویه ای اصطکاک داخلی متناظر با تغییرات مکش ساختاری هستند. رابطه‌ی  $\sigma_n$  در فضای تنش سه‌بعدی ( $\psi - \sigma_n - \tau$ ) به شکل یک رویه است، که تصویر آن در صفحه‌ی  $(\tau - \sigma_n)$  به صورت یک سری خطوط موازی با زاویه ای شبیه  $\phi$  است. عرض از مبدأ این خطوط، یعنی مجموع عبارت‌های اول و دوم سمت راست رابطه‌ی  $\sigma_n$ ، بیانگر چسبندگی ظاهری<sup>۱۹</sup> خاک است، که این مقادیر با افزایش مکش ساختاری افزایش می‌یابد.<sup>۲۰</sup> در بخش حاضر، پوش‌های کسیختگی متناظر با مکش‌های ساختاری ۳۰۰ و ۴۰۰ کیلوپاسکال در صفحه‌ی  $\sigma_n - \tau$  بررسی شده است.

مطابق شکل ۷ ملاحظه می‌شود که در یک مکش ساختاری ثابت، با افزایش نسبت تنش برشی (افزايش تنش برشی اوليه)، قطر داریه موهر با به عبارتی، مقاومت برشی کاهش یافته است. همچنین برای مقادیر یکسانی از نسبت‌های تنش برشی، با افزایش مکش ساختاری، مقاومت برشی خاک افزایش یافته است.

$$(\sigma_1 - u_a) = (\sigma_r - u_a) \tan^r \left( \frac{\pi}{\epsilon} + \frac{\phi'}{r} \right) + r c_1' \tan \left( \frac{\pi}{\epsilon} + \frac{\phi'}{r} \right) \quad (4)$$



شکل ۷. پوش گسیختگی در فضای تنفس برشی و تنفس نرم‌مال خالص.

با توجه به اینکه خاک لس گرگان به طور متوسط، ۲۵٪ رس دارد، تمایل بالای ذرات رس به جذب آب و کاهش تدریجی تنش مؤثر اعمالی به نمونه در طی فرآیند ترشیدگی موجب تمایل به انبساط نمونه می‌شود. از طرف دیگر در اثر افزایش درصد رطوبت نمونه (کاهش مکش ساختاری)، پیوندهای بین دانه‌ی سست می‌شود و تحت تنش خالص میانگین اعمال شده به نمونه، کاهش حجم یا فروبریش در ساختار خاک رخ می‌دهد. در محدوده مکش‌های متوسط، نزدیک قاعده فروبریش در ساختار خاک بیشتر از نزدیک قاعده ایجاد شده ناشی از کاهش تنش مؤثر و رفتار تورمی ذرات رس است، بنابراین در منحنی‌های تغییر حجم رفتار فروبریشی مشاهده می‌شود.

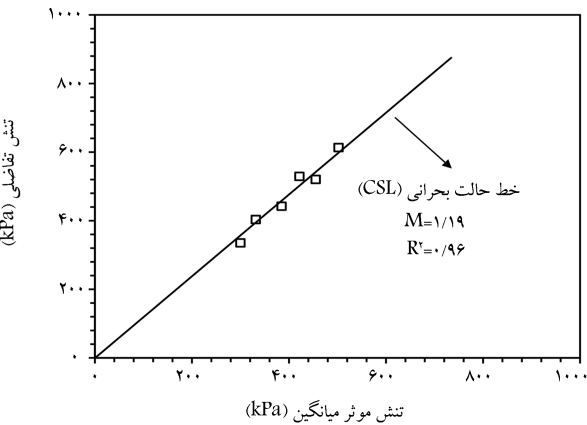
در محدودی مکش‌های متوسط و تحت تنش خالص میانگین در نظر گرفته شده در پژوهش حاضر، نیروهای بین دانه‌ی کاملاً از بین نرفته و میزان کاهش حجم حفره‌های خاک هنوز به اندازه‌ی نرسیده است که افزایش جذب آب نمونه را تحت تأثیر قرار دهد؛ بنابراین، با افزایش تنش برشی اولیه، میزان جذب آب نمونه‌ها افزایش پیدا کرده است.

نتایج به دست آمده از آزمایش‌های برش بیانگر آن است که برای نمونه‌های تحت شرایط تنشی مشابه در مرحله‌ی ترشیدگی، با افزایش مکش ساختاری مقدار تنش تفاضلی قابل تحمل در مرحله‌ی برش افزایش یافته است، که علت آن افزایش قدرت پیوندهای بین ذرات و در نتیجه افزایش استحکام ساختار خاک در مکش ساختاری بالاتر است. همچنین تحت شرایط مکش ساختاری یکسان، با افزایش تنش برشی اولیه در مرحله‌ی ترشیدگی، مقدار تنش تفاضلی قابل تحمل توسط نمونه در مرحله‌ی برش کاهش یافته است، که این رفتار به دلیل از دست رفتن بخشی از مقاومت برشی خاک در اثر اعمال تنش برشی اولیه در مرحله‌ی ترشیدگی است.

در آزمایش‌های مرحله‌ی ترشیدگی تحت نسبت‌های تنش برشی صفر (شرایط تنش همسان) و یا ۱، رفتار برشی نمونه‌ها به صورت سخت‌شونده و مشابه رفتار خاک‌های رسی عادی تحکیم یافته و یا ماسه‌ی شل بوده است. همچنین، در آزمایش‌ها تحت نسبت تنش برشی ۲، رفتار برشی نمونه‌ها، مایبن حالاتی سخت‌شونده و نرم‌شونده و مشابه خاک‌های رسی پیش تحکیم یافته و یا ماسه‌ی متراکم بوده است. علت تفاوت رفتار برشی نمونه‌های تحت نسبت تنش برشی ۲ در مقایسه با سایر نمونه‌ها، میزان تنش خالص همه‌جانبه‌ی کم اعمال شده به آنها در مرحله‌ی ترشیدگی است، که در کنار مکش ساختاری نسبتاً بالا باعث بروز این رفتار شده است.

تمامی نمونه‌ها در طول مرحله‌ی برش، جذب آب داشته‌اند؛ زیرا علی‌رغم اعمال مکش ساختاری ثابت در حین برش، در حالتی که نمونه رفتار تراکمی از خود نشان داده است، موقع فروبریش در ساختار خاک از یک سو و تورم ذرات رس در اثر جذب آب از سوی دیگر باعث کاهش حجم حفره‌ها و در نتیجه افزایش مکش ساختاری داخلی خاک شده و این تفاوت ایجاد شده بین مکش ساختاری اعمالی و مکش ساختاری داخلی نمونه به همراه تمایل بالای جذب آب بخش رسی موجب تمایل نمونه به جذب آب شده است. در حالتی که نمونه رفتار اتساعی از خود نشان داده است، انسباط نمونه کاهش فشار آب حفره‌ی را در پی داشته است، که موجب افزایش مکش ساختاری داخلی نمونه نسبت به مکش اعمالی شده است. لذا، در کنار تمایل بالای جذب آب بخش رسی، منجر به جذب آب توسعه نمونه نیز شده است.

نتایج آزمایش‌ها در مرحله‌ی برش با رویکرد متغیرهای مستقل تنش برشی شده‌اند. براین اساس، پوش‌های گسیختگی متناظر با مکش‌های ساختاری ۳۰٪ و



شکل ۸. خط حالت بحرانی در فضای تنش مؤثر (صفحه‌ی  $p'$  -  $q$ ).

که در آن،  $S_r$  درجه‌ی اشباع،  $S_{r,res}$  درجه‌ی اشباع متناظر مکش ساختاری صفر و  $S_{r,des}$  درجه‌ی اشباع متناظر حالت باقیمانده ۲۲ است. با توجه به شکل ۱۱ - ب)، مقادیر  $S_{r,res}$  و  $S_{r,des}$  در مسیر ترشیدگی برای نمونه‌های بازسازی شده خاک لس گرگان با رطوبت اولیه‌ی ۱۱٪ به ترتیب برابر با ۹۸۶ و ۱۲۲ درستند. در نوشتار حاضر، رابطه‌ی تنش مؤثر مطابق با رابطه‌ی پیشنهادی لو<sup>۲۳</sup> و همکاران (۲۰۱۰)،<sup>۲۴</sup> به صورت رابطه‌ی ۱۲ در نظر گرفته شده است:

$$(12) \quad p' = p_n + S_e \cdot \psi$$

با جایگزینی رابطه‌ی ۱۲ به جای رابطه‌ی تنش مؤثر کلاسیک ترزاچی، بسیاری از تقریب‌های مکانیک خاک کلاسیک قابل گسترش به حالت غیراشباع هستند. طبق رابطه‌ی در نظر گرفته شده برای تنش مؤثر براساس تئوری حالت بحرانی، در شکل ۸، نقاط متناظر با حالت بحرانی در فضای تنش مؤثر (صفحه‌ی  $p'$  -  $q$ ) ارائه شده است. همان‌گونه که مشاهده می‌شود، خط حالت بحرانی (CSL) با دقت مناسبی بر داده‌ها بازش یافته ( $R^2 = 0.96$ ) و شبیه آن برابر با  $1/19$  است. با توجه به شبیه خط حالت بحرانی، مقدار زاویه‌ی اصطکاک متناظر حالت بحرانی ( $\phi'_{cr}$ ) برابر با  $29/8$  درجه است.

## ۷. نتیجه‌گیری

در نوشتار حاضر، به ارزیابی اثر وجود تنش برشی اولیه (شرایط تنش ناهمسان) در رفتار هیدرومکانیکی نمونه‌های بازسازی شده خاک لس گرگان در مکش‌های ساختاری متوسط پرداخته شده است. بدین منظور مجموعه‌ی از آزمایش‌های سه محوری غیراشباع با کنترل مکش و کنترل تنش در مسیر بارگذاری «تنش خالص میانگین ثابت - مکش ساختاری کاهشی» تحت نسبت‌های تنش برشی صفر، ۱ و ۲ انجام شده است. در انتهای هر کدام از آزمایش‌ها، نمونه‌ها در شرایط مکش ساختاری ثابت تحت برش سه محوری با کنترل کرنش قرار گرفته‌اند.

نتایج به دست آمده از آزمایش‌های ترشیدگی در محدوده مکش‌های متوسط نشان می‌دهند که در کلیه‌ی آزمایش‌ها به دلیل کاهش مکش ساختاری ناشی از فرآیند ترشیدگی، نمونه شروع به جذب آب کرده و حجم آب حفره‌ی افزایش یافته است. از طرف دیگر، تحت شرایط مکش ساختاری و تنش خالص میانگین ثابت، با افزایش تنش برشی اولیه، میزان کاهش حجم نمونه‌ها افزایش یافته است و در منحنی‌های تغییر حجم پرش‌هایی مشاهده می‌شود که بیانگر فروبریش‌های ایجاد شده در ساختار خاک لس است.

افزایش مکشن ساختاری افزایش یافته است.

نتایج مرحله‌ی برش براساس مفهوم حالت بحرانی و با رویکرد تنش مؤثر نیز بررسی شده است. براین اساس، خط حالت بحرانی در صفحه‌ی  $p'$  -  $q$  با دقت خوبی به نقاط متناظر حالت بحرانی برازش داده شده و شب آن برابر با  $1/19$  بوده است.

$400$  کیلوپاسکال با رسم دایر موهرب حسب تنش‌های اصلی خالص ( $\sigma_{n1}, \sigma_{n2}$ ) در صفحه‌ی  $\sigma_n - \tau$  ترسیم شده است. همان‌گونه که مشاهده می‌شود، پوش‌های گسیختگی به صورت خطوط موازی هستند، که نشان‌دهنده‌ی عدم تأثیر مکشن ساختاری در زاویه‌ی اصطکاک داخلی خاک در محدوده‌ی مکش‌های متوسط است. همچنین نتایج به دست آمده نشان می‌دهند که چسبندگی ظاهری خاک با

## پانوشت‌ها

1. Terzaghi
2. Casagrande & Carillo
3. Inherent Anisotropy
4. Induced Anisotropy
5. Cui & Delage
6. Della Vecchia & Romero
7. Sivakumar
8. Zhan
9. Zhou
10. Buenfil
11. Aeolian
12. Van Genuchten
13. Under-Compaction
14. Ladd
15. Scanning Electron Microscope
16. Axis Translation
17. High Air Entry
18. Fredlund & Morgenstern
19. Apparent Cohesion
20. Bishop
21. Jennings & Burland
22. Residual State
23. Lu
24. Critical State Line

## منابع (References)

1. Terzaghi, K., Peck, R.B. and Mesri, G., 1996. *Soil Mechanics in Engineering Practice*. Third Ed, John wiley & sons.
2. Jefferson, I. and Rogers, C.D., 2012. Collapsible soils. *Proceedings of ICE Manual of Geotechnical Engineering*. ICE Publishing, London, pp. 391-411. <https://doi.org/10.1680/moge.57074.0391>.
3. Li, P., Vanapalli, S. and Li, T., 2016. Review of collapse triggering mechanism of collapsible soils due to wetting. *Journal of Rock Mechanics and Geotechnical Engineering*, 8(2), pp. 256-274. <http://doi.org/10.1016/j.jrmge.2015.12.002>.
4. Pereira, J.H. and Fredlund, D.G., 2000. Volume change behavior of collapsible compacted gneiss soil. *Journal of Geotechnical and Geoenvironmental Engineering*, 126(10), pp. 907-916. [http://doi.org/10.1061/\(asce\)1090-0241\(2000\)126:10\(907\)](http://doi.org/10.1061/(asce)1090-0241(2000)126:10(907)).
5. Sun, D.A., Matsuoka, H. and Xu, Y.F., 2004. Collapse behavior of compacted clays in suction-controlled triaxial tests. *Geotechnical Testing Journal*, 27(4), pp. 362-370. <http://doi.org/10.1520/gtj11418>.
6. Jotisankasa, A., 2005. *Collapse Behaviour of a Compacted Silty Clay*. Doctoral Dissertation, University of London.
7. Haeri, S.M., Akbari Garakani, A., Khosravi, A. and Meehan, C.L., 2014. Assessing the hydro-mechanical behavior of collapsible soils using a modified triaxial test device. *Geotechnical Testing Journal*, 37(2), pp. 190-204. <http://doi.org/10.1520/gtj20130034>.
8. Garakani, A.A., Haeri, S.M., Khosravi, A. and Habibagahi, G., 2015. Hydro-mechanical behavior of undisturbed collapsible loessial soils under different stress state conditions. *Engineering Geology*, 195, pp. 28-41. <http://doi.org/10.1016/j.enggeo.2015.05.026>.
9. Haeri, S.M., Khosravi, A., Garakani, A.A. and Ghazizadeh, S., 2017. Effect of soil structure and disturbance on hydromechanical behavior of collapsible loessial soils. *International Journal of Geomechanics*, 17(1), p. 04016021. [http://doi.org/10.1061/\(asce\)gm.1943-5622.0000656](http://doi.org/10.1061/(asce)gm.1943-5622.0000656).
10. Almahbobi, S., Tripathy, S. and Cleall, P.J., 2018. Effects of confining stress and suction on volume change and shear strength behaviour of a collapsible soil. In *The 7th International Conference on Unsaturated Soils*, p. 6. <https://www.issmge.org/publications/online-library>.
11. Haeri, S.M., Akbari Garakani, A., Roohparvar, H.R., Desai, C.S., Seyed Ghafouri, S.M.H. and Salemi Kouchesfahani, K., 2019. Testing and constitutive modeling of lime-stabilized collapsible loess. I: Experimental investigations. *International Journal of Geomechanics*, 19(4), p. 04019006. [http://doi.org/10.1061/\(asce\)gm.1943-5622.000136](http://doi.org/10.1061/(asce)gm.1943-5622.000136).
12. Akbari Garakani, A., Haeri, S.M., Desai, C.S., Hosein Seyed Ghafouri, S.M., Sadollahzadeh, B. and Hashemi Senejani, H., 2019. Testing and constitutive modeling of lime-stabilized collapsible loess. II: Modeling and validations. *International Journal of Geomechanics*, 19(4), p. 04019007. [http://doi.org/10.1061/\(asce\)gm.1943-5622.0001386](http://doi.org/10.1061/(asce)gm.1943-5622.0001386).
13. Sadeghi, H., Kiani, M., Sadeghi, M. and Jafarzadeh, F., 2019. Geotechnical characterization and collapsibility of a natural dispersive loess. *Engineering Geology*, 250, pp. 89-100. <http://doi.org/10.1016/j.enggeo.2019.01.015>.
14. Zhang, D., Wang, J., Chen, C. and Wang, S., 2020. The compression and collapse behaviour of intact loess in suction-monitored triaxial apparatus. *Acta Geotechnica*, 15(2), pp. 529-548. <http://doi.org/10.1007/s11440-019-00829-3>.
15. Casagrande, A., 1944. Shear failure of anisotropic materials. *Proc. Boston Soc. Civ. Engrs*, 31, pp. 74-87. <http://doi.org/10.1061/taceat.0005693>.

16. Cui, Y.J. and Delage, P., 1996. Yielding and plastic behaviour of an unsaturated compacted silt. *Géotechnique*, 46(2), pp. 291-311. <http://doi.org/10.1680/geot.1996.46.2.291>.
17. Vecchia, G.D. and Romero, E., 2013. A fully coupled elastic-plastic hydromechanical model for compacted soils accounting for clay activity. *International Journal for Numerical and Analytical Methods in Geomechanics*, 37(5), pp.503-535. <http://doi.org/10.1002/nag.1116>.
18. Sivakumar, V., Sivakumar, R., Murray, E.J., Mackinnon, P. and Boyd, J., 2010. Mechanical behaviour of unsaturated kaolin (with isotropic and anisotropic stress history). Part 1: wetting and compression behaviour. *Géotechnique*, 60(8), pp. 581-594. <http://doi.org/10.1680/geot.8.p.007>.
19. Zhan, T.L.T., Chen, R. and Ng, C.W.W., 2014. Wetting-induced softening behavior of an unsaturated expansive clay. *Landslides*, 11(6), pp.1051-1061. <http://doi.org/10.1007/s10346-013-0449-6>.
20. Zhou, Y.F., Tham, L.G., Yan, W.M., Dai, F.C. and Xu, L., 2014. Laboratory study on soil behavior in loess slope subjected to infiltration. *Engineering Geology*, 183, pp. 31-38. <http://doi.org/10.1016/j.enggeo.2014.09.010>.
21. Buenfil, C., Romero Morales, E.E., Lloret Morancho, A. and Gens Sol, A., 2016. Anisotropic behaviour of compacted clayey silt subjected to hydromechanical paths. In *3rd European Conference on Unsaturated Soils: E-UNSAT 2016*, Paris, France, pp. 1-6, E3S Web of Conferences. <http://doi.org/10.1051/e3sconf/20160914021>.
22. Al-Sharrad, M.A., Gallipoli, D. and Wheeler, S.J., 2017. Experimental investigation of evolving anisotropy in unsaturated soils. *Géotechnique*, 67(12), pp. 1033-1049. <http://doi.org/10.1680/jgeot.15.p.279>.
23. Liang, C., Cao, C. and Wu, S., 2018. Hydraulic-mechanical properties of loess and its behavior when subjected to infiltration-induced wetting. *Bulletin of Engineering Geology and the Environment*, 77(1), pp. 385-397. <http://doi.org/10.1007/s10064-016-0943-x>.
24. Wang, J., Zhang, D., Wang, N. and Gu, T., 2019. Mechanisms of wetting-induced loess slope failures. *Landslides*, 16(5), pp. 937-953. <http://doi.org/10.1007/s10346-019-01144-4>.
25. Frechen, M., Kehl, M., Rolf, C., Sarvati, R. and Skowronek, A., 2009. Loess chronology of the Caspian lowland in northern Iran. *Quaternary International*, 198(1-2), pp. 220-233. <http://doi.org/10.1016/j.quaint.2008.12.012>.
26. Haeri, S.M., Zamani, A. and Garakani, A.A., 2012. Collapse potential and permeability of undisturbed and remolded loessial soil samples. In *Unsaturated Soils: Research and Applications*, 1, pp. 301-308. Springer Berlin Heidelberg. [http://doi.org/10.1007/978-3-642-31116-1\\_41](http://doi.org/10.1007/978-3-642-31116-1_41).
27. Haeri, S.M., 2016. Hydro-mechanical behavior of collapsible soils in unsaturated soil mechanics context. *Japanese Geotechnical Society Special Publication*, 2(1), pp.25-40. <http://doi.org/10.3208/jgssp.KL-3>.
28. Sadollahzadeh, B. 2017. *Assessment of the Initial Shear Stress Effect on Unsaturated Behavior of Collapsible Soil, a Case Study of the Gorgan Loess*. M.Sc. Thesis, Sharif University of Technology. [In Persian].
29. Borujerdi, S.S. 2015. *Development of Unsaturated Triaxial Device in Order to Conduct Stress-Controlled Tests and Study of the Hydromechanical Behavior of Collapsible Soils Under Anisotropic Consolidation, a Case Study of the Gorgan Loess*. M.Sc. Thesis, Sharif University of Technology. [In Persian].
30. Van Genuchten, M.T., 1980. A closed-form equation for predicting the hydraulic conductivity of unsaturated soils. *Soil Science Society of America Journal*, 44(5), pp. 892-898. <http://doi.org/10.2136/sssaj1980.03615995004400050002x>.
31. Ladd, R.S., 1978. Preparing test specimens using under-compaction. *ASTM Geotechnical Testing Journal*, 1(1), pp. 16-23. <http://doi.org/10.1520/gtj10364j>.
32. Hilf, J.W., 1956. *An Investigation of Pore-water Pressure in Compacted Cohesive Soils*. Doctoral Dissertation, University of Colorado at Boulder.
33. Fredlund, D.G., Morgenstern, N.R. and Widger, R.A. (1978). The shear strength of unsaturated soils. *Canadian Geotechnical Journal*, 15(3), pp. 313-321. <http://doi.org/10.1139/t78-029>.
34. Lu, N. and Likos, W.J., 2006. Suction stress characteristic curve for unsaturated soil. *Journal of Geotechnical and Geoenvironmental Engineering*, 132(2), pp. 131-142. [http://doi.org/10.1061/\(asce\)1090-0241\(2006\)132:2\(131\)](http://doi.org/10.1061/(asce)1090-0241(2006)132:2(131)).
35. Jennings, J.E.B. and Burland, J.B., 1962. Limitations to the use of effective stresses in partly saturated soils. *Géotechnique*, 12(2), pp.125-144. <http://doi.org/10.1680/geot.1962.12.2.125>.
36. Ghasemzadeh, H. and Amiri, S.G., 2013. A hydro-mechanical elastoplastic model for unsaturated soils under isotropic loading conditions. *Computers and Geotechnics*, 51, pp. 91-100. <http://doi.org/10.1016/j.compgeo.2013.02.006>.
37. Ghasemzadeh, H., Sojoudi, M.H., Amiri, S.G. and Karami, M.H., 2017. Elastoplastic model for hydro-mechanical behavior of unsaturated soils. *Soils and Foundations*, 57(3), pp. 371-383.
38. Bishop, A.W. (1959). The Principle of Effective Stress. *Teknisk Ukeblad*, 106(39), pp. 859-863.
39. Gallipoli, D., Gens, A., Sharma, R. and Vaunat, J., 2003. An elasto-plastic model for unsaturated soil incorporating the effects of suction and degree of saturation on mechanical behaviour. *Géotechnique*, 53(1), pp. 123-135. <http://doi.org/10.1680/geot.2003.53.1.123>.
40. Wheeler, S.J., Sharma, R.S. and Buisson, M.S.R., 2003. Coupling of hydraulic hysteresis and stress-strain behaviour in unsaturated soils. *Géotechnique*, 53(1), pp. 41-54. <http://doi.org/10.1680/geot.2003.53.1.41>.
41. Akbari Garakani, A., Pirjalili, A. and Desai, C.S., 2021. An effective stress-based DSC model for predicting the coefficient of lateral soil pressure in unsaturated soils. *Acta Geotechnica*, 16(12), pp. 3813-3830. <http://doi.org/10.1007/s11440-021-01376-6>.
42. Lu, N., Godt, J.W. and Wu, D.T., 2010. A closed-form equation for effective stress in unsaturated soil. *Water Resources Research*, 46(5). <http://doi.org/10.1029/2009wr008646>.